

基于 DIKW 体系的课堂教学评价框架研究与设计^{*}

耿伟 耿行远** 王浩

1. 安徽信息工程学院计算机学院, 芜湖 241000
2. 安徽大学互联网学院, 合肥 230039
3. 合肥工业大学计算机学院, 合肥 230009

摘要: 为应对教育信息化背景下课堂教学评价存在的单一维度依赖、分析深度不足及反馈滞后等问题, 本研究基于 DIKW (Data-Information-Knowledge-Wisdom) 体系, 构建多模态数据驱动的课堂教学评价框架。通过融合多维度编码体系与多模态感知技术, 设计了覆盖行为、情感与环境三维度的全息数据采集系统, 实现师生语言交互、情感表征及物理环境参数的动态监测。基于信息熵模型量化教学系统有序性, 采用信息增益率算法提取关键教学变量, 结合德尔菲法构建专家经验驱动的动态闭环优化机制。结果表明, 该框架通过多模态数据融合与“评价-反馈-优化”迭代机制, 能够有效提升教学评价的客观性与实时性, 为智能化教育治理提供了可扩展的技术路径。研究验证了 DIKW 理论在课堂教学评价中的适用性, 其技术架构为教育数据生态的构建与教学决策优化提供了方法论支持。

关键词: DIKW 体系, 多维数据编码体系, 多模态感知技术, 信息熵, 信息增益率, 动态反馈机制

Research and Design of Classroom Teaching Evaluation Framework Based on DIKW System

Geng Wei Geng Xingyuan** Wang Hao

1. Anhui Institute of Information Technology, Wuhu 241000, China;
2. Anhui University, Hefei 230039, China
3. Hefei University of Technology, Hefei 230009, China

Abstract—To address the challenges of single-dimensional dependency, superficial analysis, and delayed feedback in classroom teaching evaluation under educational informatization, this study constructs a multimodal data-driven classroom teaching evaluation framework based on the DIKW (Data-Information-Knowledge-Wisdom) hierarchy. By integrating a multi-dimensional coding system with multimodal sensing technology, a holistic data acquisition system is designed to dynamically monitor teacher-student linguistic interactions, emotional states, and physical environmental parameters. The information entropy model quantifies the orderliness of the teaching system, while the information gain ratio algorithm extracts key instructional variables. A dynamic closed-loop optimization mechanism is established through the Delphi method to incorporate expert insights. Results demonstrate that the framework effectively enhances the objectivity and real-time capability of teaching evaluation via multimodal data fusion and an iterative “evaluation-feedback-optimization” mechanism, providing a scalable technical pathway for intelligent educational governance. The research validates the applicability of the DIKW theory in classroom teaching evaluation, and its technical architecture offers methodological support for constructing educational data ecosystems and optimizing pedagogical decision-making.

Keywords — DIKW framework, multi-dimensional data encoding system, multi-modal perception technology, information entropy, information gain Ratio, dynamic feedback mechanism

1 引言

课堂教学作为教育系统的核心场域, 其质量直接决定人才培养的效果与教育目标的实现。随着《深化

新时代教育评价改革总体方案》等政策的推进, 课堂教学评价逐渐从经验驱动转向数据驱动[1], 数据驱动评价不仅是技术工具的应用, 也是教育治理模式根本性变革的体现, 还是成为优化教学策略、提升教育质量的关键抓手。然而, 传统评价模式多依赖单一维度的课后问卷调查或专家主观观察, 存在数据来源碎片化、分析过程浅表化、结果反馈滞后等系统性缺陷, 且缺乏系统性的理论框架, 尽管大数据与人工智能技

* 基金资助: 本文得到安徽省教育厅高校科研重点项目(2024AH050636)。

** 通讯作者: 耿行远 2899798988@qq.com

术为多模态数据采集与分析提供了新路径,但现有研究仍面临三重挑战:其一,数据缺乏深层整合利用,传统的FIAS行为编码体系虽能捕捉师生互动,却难以融合语音、视频等非结构化数据,导致评价维度单一;其二,信息转化低效,多数研究停留于描述性统计,缺乏对数据深层信息熵的量化解析,无法揭示教学过程的动态复杂性;其三,知识提炼与决策支持断层,评价结果多止步于静态报告,未能通过知识建模与专家智慧形成闭环优化机制。

近年来,随着人工智能技术的崛起,智能技术支持对教学评价框架提供了更有利的支持[2],在此背景下,DIKW体系为重构课堂教学评价范式提供了理论框

架。该体系通过分层递进的数据价值挖掘机制,将原始数据升华为决策智慧,契合教育评价“从证据到行动”的核心诉求。首先,通过整合改进的FIAS互动分析系统与多模态感知技术进行多模态学习数据采集,构建覆盖“行为-情感-环境”三维度的全息数据采集系统,实现师生语言互动、情感状态及物理环境的动态监测。其次,引入信息熵模型[3]量化教学系统的有序性,结合信息增益率算法提取关键教学变量,揭示教学信息传递的效率与瓶颈。接着,通过德尔菲法[4]融合教育专家经验与数据分析结果,形成个性化的教学改进策略,最终建立“评价-反馈-优化”的动态循环机制。

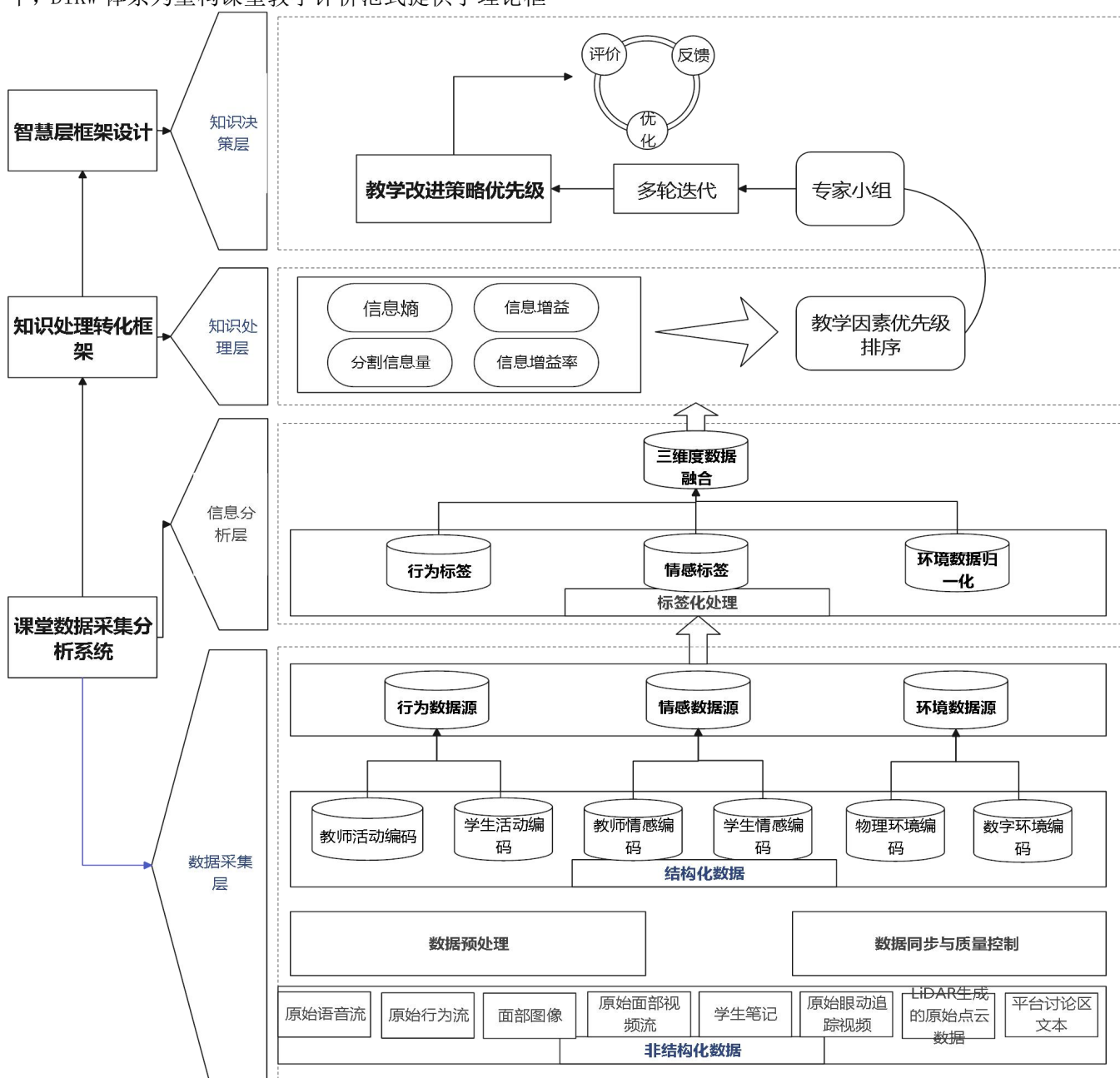


图 1 课堂教学评价框架设计

本研究以 DIKW 为方法论基石，旨在构建“全模态采集-熵驱动解析-知识化建模-智慧型决策”的一体化评价模型。分析表明，该框架不仅能够显著提升评价结果的客观性与实时性，更可为“以评促改”提供可落地的理论工具，响应《教育信息化 2.0 行动计划》对智能化教育治理的迫切需求^[5]。这一探索不仅拓展了信息熵理论的教育应用边界，其架构设计（见图 1）亦通过可视化形式揭示了数据价值转化的完整链条，为破解“数据丰富而洞察匮乏”的评价困境提供了系统性解决方案。

2 课堂数据采集分析系统

2.1 数据采集分析系统的总体设计

课堂教学评价的客观性与科学性高度依赖于数据的全面性与多维度表征^[6]。然而，传统课堂教学评价多依赖单一维度的行为数据，难以全面捕捉师生互动的动态复杂性。例如，FIAS 虽能记录语言互动频次，但无法量化情感状态与环境因素，导致教学评价维度受限。研究表明，情感状态与认知负荷显著相关^[7]，而物理环境（如温度、光照）可通过影响学生注意力间接降低学习效率^[8]。因此，构建覆盖行为-情感-环境的全息数据模型，是破解“数据丰富而洞察匮乏”评价困境的关键路径。

在此背景下，本研究以 DIKW 体系为理论框架，设计了一套融合了多维度编码系统与多模态感知技术的数据采集和分析系统。该系统基于以下学术前提：

(1) 教学活动的复杂性：课堂教学是师生行为、情感与环境动态交互的复杂系统^[9]，需通过多模态数据捕捉其多维特征。

(2) 数据驱动的评价需求：教育信息化政策强调构建“数据感知-证据评价-实时反馈”的一体化评测体系，要求数据采集具备全模态覆盖能力。

(3) 信息熵理论的应用潜力：信息熵作为量化系统不确定性的核心指标，需以高维度数据为基础，揭示教学信息传递的效率与瓶颈。

(4) 教学活动中的隐私安全：为保护师生隐私，所有教学录像仅用于学术研究和教学改进。本系统通过整合结构化行为编码（FIAS）与非结构化多模态感知数据，突破了传统单一样本偏差，构建了覆盖“行为-情感-环境”三位一体的全息数据模型（见图 1），为后续基于信息熵与信息增益率的深度分析提供多维数据支持。

2.2 基于“行为-情感-环境”的多维数据编码体系

为实现对课堂教学动态过程的精细化分析，本研究从行为-情感-环境三个维度构建师生行为的全息编码框架，具体设计如下：

(1) 行为维度编码

行为维度编码作为课堂教学评价的核心要素，旨在通过量化师生语言与非语言互动，揭示教学活动的结构化特征。本研究参考了文献[10]中成熟的课堂互动分类指标，针对非语言行为编码的缺失问题，融合深度学习与计算机视觉技术，构建了细粒度的行为标签体系。通过适应性改进，系统实现了语言与非语言行为的同步解析，显著提升了课堂教学评价的全面性与精准性。行为维度编码通过多模态数据融合技术，构建了语言与非语言行为的协同解析框架（见表 1）。

(2) 情感维度编码

情感状态与认知负荷、学习效率显著相关^[11]，教师的情绪调节能力直接影响教学效果与心理健康^[12]。本研究结合 PANAS 量表与心流理论，采用多模态感知技术构建了一套细粒度情感编码体系，通过融合生理与行为多源信号，依据预设阈值与关联规则将多模态特征映射为语义化情感标签。

表 1 行为维度编码

分类	行为标签	编码	内容
教师活动	讲解型	T0	讲解
		T1	指导
		T2	批评
		T3	赞扬
	互动型	T4	提问（开放式）
		T5	提问（封闭式）
	实验型	T6	操作演示
		T7	发布信息
		T8	展示成果
学生活动	言语活动型	S0	主动发言
		S1	被动应答
		S2	自主学习
		S3	小组协作
		S4	交流讨论
	实践活动型	S5	平板学习
		S6	小组合作实践
		S7	学生展示
	听讲型	S8	学习或思考
	其他	S9	停顿或混乱

教师情感维度被划分为三类编码指标：EM0 基于面部动作单元（包括 AU4 皱眉、AU12 微笑、AU14 严肃

等), EM1 依托语音情感分析(涵盖语调波动与语速特征), EM2 则依据肢体动作参数(如手势幅度与身体朝向角度)。学生情感维度包括 ES0(专注度, 通过眼动追踪获取视线停留时长与眨眼频率)、ES1(面部表情, 识别包括皱眉、眼睑下垂与嘴角上扬等动作单元)以及 ES2(参与度, 依据行为日志统计提问次数与设备交互频率)。

在学生情感状态的识别中, 系统依据多模态特征判定五种典型状态。兴奋状态需满足眨眼频率 ≥ 15 次/分钟、积极情绪概率 ≥ 0.8 , 且设备交互频率不低于课堂均值的 150%; 专注状态需同时满足视线停留时长 ≥ 55 秒/分钟、眨眼频率 ≤ 10 次/分钟、积极情绪概率 ≥ 0.7 , 且提问次数达到或超过课堂均值; 困惑状态由视线停留时长 ≤ 30 秒/分钟、消极情绪概率 ≥ 0.6 及设备交互频率 \leq 课堂均值的 50% 共同判定; 焦虑状态表现为视线分散度 ≥ 0.5 (频繁扫视)、消极情绪概率 ≥ 0.7 , 并伴有提问次数突增或骤降等异常行为; 无聊状态则根据视线停留时长 ≤ 20 秒/分钟、消极情绪概率 ≥ 0.5 及出现无效设备操作(如频繁切换页面)予以识别。

教师情感状态被划分为四种类型。激励型表现为微笑频率 ≥ 0.7 、皱眉强度 ≤ 0.3 、语调波动标准差 ≥ 0.6 (抑扬顿挫)及手势幅度 ≥ 0.5 (大幅动作); 压力型表现为皱眉强度 ≥ 0.6 、语速 ≥ 200 字/分钟; 沉浸型教师具有微笑频率 ≥ 0.5 且皱眉强度 ≤ 0.2 、语调平稳(波动标准差 ≤ 0.3)、手势幅度适中($0.3 - 0.6$)等特征; 疲惫型则表现为皱眉强度 ≥ 0.5 、语速 ≤ 120 字/分钟(迟疑)、手势幅度 ≤ 0.2 (拘谨动作)。各类情感状态均通过上述多模态信号协同判别, 从而为课堂教学评价提供全面、客观的情感维度支持。

(3) 环境维度编码

环境维度编码的核心目标在于通过对物理环境与数字环境的实时状态进行量化监测, 揭示其与教学效果之间的动态关联, 从而优化课堂支持条件, 并构建适应不同学习需求的环境调控策略。环境维度主要包括物理环境与数字环境两大类, 分别从多个指标进行编码与量化处理。

在物理环境方面, EN0 用于监测温度(单位: $^{\circ}\text{C}$), 采用基于逻辑函数的归一化方法(调节斜率 $k=0.5$), 将温度映射至 $[0, 1]$ 区间, 其中低温对应 $[0, 0.3]$, 适宜温度为 $[0.3, 0.7]$, 高温为 $[0.7, 1]$; EN1 负责照度(单位: Lux), 通过分箱处理划分为低($0-300$ Lux)、中($300-800$ Lux)与高(800 Lux 以上)三个等级; EN2 表征学生空间分布密度, 以学生间平均距离(米)为指标, 设定密集状态为距离不大于 1.5 米, 松散状态为大于 1.5 米。

在数字环境方面, EN3 综合考量点击频率与页面停留时长, 采用 Z-Score 标准化方法进行处理, 根据标准化值得出低活跃($Z \leq -1$)、中活跃($-1 < Z < 1$)及高活跃($Z \geq 1$)三类状态; EN4 针对讨论区发言次数, 通过对数转换($\log(x+1)$)进行归一化, 判定低参与为转换值不大于 1, 高参与为大于 1。通过上述编码与归一化方法, 环境维度数据得以结构化集成, 为后续分析环境与教学行为及效果的关联奠定基础。

2.3 数据同步与质量控制

为应对多模态数据的时间异步性与噪声干扰问题, 系统采用了多层次的数据同步与质量控制策略。首先, 通过 NTP 协议实现所有感知设备的毫秒级时间戳对齐, 确保多模态数据的时间一致性通过多设备时钟校准实验, 测试不同网络负载下的同步误差。其次, 基于孤立森林算法(Isolation Forest)检测异常值, 并利用 K 近邻算法(K-Nearest Neighbors, KNN)填补缺失数据, 以提高数据的完整性与可靠性。最后, 通过注意力机制(Transformer)构建视频动作、语音内容与文本笔记的关联矩阵, 验证数据一致性。这种跨模态校验机制不仅能够识别数据冲突, 还能通过人工复核进一步确保数据的准确性。当检测到行为-情感逻辑矛盾, 系统触发跨模态注意力机制, 计算行为、语音、表情的关联权重。若综合置信度过低则启动人工复核流程, 教师可通过回放视频片段重新标注。

2.4 三维度数据融合与验证

利用编码构建特征描述列表: 数据 [index=1, 2...]{教师行为, 学生行为, 教师情感 EM0, 教师情感 EM1, 教师情感 EM2, 学生情感 ES0, 学生情感 ES1, 学生情感 ES2, 物理环境 EN0, 物理环境 EN1 物理环境 EN2, 数字环境 EN3}, 教师情感, 学生情感判断后以情感标签替代。示例:

```
[index=1, 2...]
教师行为=T0=讲解型
学生行为=S8=听讲型
{教师情感 EM0=0.85,
教师情感 EM1=0.72,
教师情感 EM2=0.65, }=激励性
{学生情感 ES0: (视线停留时长)=58 秒/分钟
(眨眼频率)=8 次/分钟
学生情感 ES1=0.63,
学生情感 ES2: (提问次数)=3 次>课堂均值
(设备交互频率)4 次/课堂}=专注
物理环境 EN0=0.45=适宜,
物理环境 EN1=中,
物理环境 EN2=1.2=密集,
数字环境 EN3=1.8=高参与度 }
```

3 基于信息熵, 信息增益率的知识处理转化框架

基于 DIKW 体系的数据层采集, 信息层分析, 特征

描述矩阵 $X \in R^{m \times n}$ 由多模态数据融合生成, 其行向量对应时序样本 (m 个时间戳), 列向量表征行为、情感、环境三维度的量化指标 (共 n 个特征)。具体形式如下:

假设数据 [index=1, 2, ..., m] 随时间变化有 m 个样本, n 为各多模态数据个数, 以 x_{ij} 为第 i 个样本的第 j 个指标的评价值, 则特征描述列表用矩阵表示为

$$X = \begin{bmatrix} x_{11} & \cdots & x_{1n} \\ \vdots & \ddots & \vdots \\ x_{m1} & \cdots & x_{mn} \end{bmatrix} \quad (1)$$

其中, x_{ij} 表示第 i 个样本的第 j 个特征值 (如教师行为编码、学生情感强度、环境参数等)。由于各个评价指标的量纲不同, 为了便于比较, 对公式矩阵进行归一化处理。

$$r_{ij} = \frac{x_{ij}}{\sum_{i=1}^m x_{ij}}, i = 1, 2, \dots, m; j = 1, 2, \dots, n \quad (2)$$

3.1 教学影响因素分析模型

教学影响因素分析模型是基于基本指标数据采用成因分析模型对教学特征描述属性数据进行分析, 归纳教学影响因素与教学质量的关系, 对教学过程可能影响的原因进行排序, 以信息增益率作为权值, 为进行教学改进提供依据。

假设数据集合 S 按属性 C 划分为 m 类不同的类数据子集 $C_i (i = 1, 2, \dots, m)$, 每个类数据子集 $C_i (i = 1, 2, \dots, m)$ 的样本数为 $n_i (i = 1, 2, \dots, m)$, p_i 为类别 $C_i (i = 1, 2, \dots, m)$ 的样本数占总样本数 n 的比例 $p_i = \frac{n_i}{n}$, S 是 n 各样本数据的集合, 样本数据集合的信息熵用下式表示

$$E(S) = - \sum_{i=1}^m p_i \log_2 p_i \quad (3)$$

表 2 分析特征信息属性表

时间戳	教师行为标签	学生行为标签	教师标签	学生标签	EN0	EN1	EN2	EN3
00:05:00	T0 (讲解型)	S8(听讲型)	激励型	专注	适宜	中	密集	低
00:35:20	T5 (互动型)	S1(言语活动型)	压力型	困惑	高温	高	松散	高
00:20:15	T7 (实验型)	S2(言语活动型)	压力型	焦虑	高温	高	密集	中
00:28:45	T1 (互动型)	S0(言语活动型)	沉浸型	专注	低温	低	松散	中
00:42:50	T0 (讲解型)	S4(言语活动型)	疲惫型	无聊	适宜	中	密集	低
...
00:12:30	T3 (互动型)	S0 (言语活动型)	激励型	兴奋	适宜	中	松散	高
00:23:45	T8 (实验型)	S5(实践活动型)	沉浸型	困惑	高温	高	密集	中
00:08:45	T1 (互动型)	S6(实践活动型)	激励型	专注	适宜	高	松散	高
00:35:45	T0 (讲解型)	S9 (其他)	压力型	无聊	高温	低	密集	中

假设属性 A 将样本集合数据 S 划分为 v 个子集 S_v , 每个子集 S_v 的取值均为 a_v , n_{ij} 是子集 S_j 中属于 $C_i (i = 1, 2, \dots, m)$ 类的样本数, $p_j = \sum_{i=1}^m \frac{n_{ij}}{n}$, p_{ij} 是属性 A 属性值为 a_j 时, 类别为 $C_i (i = 1, 2, \dots, m)$ 的概率 $p_{ij} = \frac{n_{ij}}{\sum_{i=1}^m n_{ij}}$, 属性 A 的条件熵可以用下式表示

$$E(S|A) = - \sum_{j=1}^v P_j \sum_{i=1}^m P_{ij} \log_2 P_{ij} \quad (4)$$

进而可以得到信息增益、分割信息量和信息增益率然后通过比较各个属性的信息增益率, 选择信息增

益率最大的属性作为分裂节点, 重复以上过程, 最终能够得出属性分类的决策树。

$$Gain(S, A) = E(S) - E(S|A) \quad (5)$$

$$Split(S, A) = E(S) - E(S|A) \quad (6)$$

$$Gain_{Ratio}(A) = \frac{Gain(S,A)}{Split(S,A)} \quad (7)$$

3.2 基于信息增益率的教学影响因素分析

上面通过给出不同课堂开始后下不同时间戳下对应教学影响因素, 得到分析特征信息属性表 (表 2)

以下以各个教学因素，详细计算信息增益、分割信息量及信息增益率。假设目标变量为学生标签（专注、困惑、焦虑、无聊、兴奋），数据样本共9条（忽略“...”部分）。

(1) 初始信息熵计算

基于9个观测样本，学生情感标签的分布为专注（3次）、困惑（2次）、焦虑（2次）、无聊（1次）、兴奋（1次）。根据香农信息熵理论，系统的整体不确定性可通过公式量化：

$$H(X) = \sum_{i=1}^m P(x_i) \log_2 P(x_i) \quad (8)$$

其中， $P(x_i)$ 表示第*i*类标签的概率， $m=5$ 为情感标签类别数。以学生标签集合 $C=\{\text{专注, 困惑, 焦虑, 无聊, 兴奋}\}$ 为例，专注出现3次、困惑2次、无聊2次、焦虑1次、兴奋1次，通过计算各标签概率，代入熵公式可得：

$$H(S) = -\left(\frac{3}{9} \log_2 \frac{3}{9} + \frac{2}{9} \log_2 \frac{2}{9} + \frac{2}{9} \log_2 \frac{2}{9} + \frac{1}{9} \log_2 \frac{1}{9}\right) \approx 2.173 \text{ bits} \quad (9)$$

结果表明，学生情感状态的初始信息熵为2.202bits，反映了教学过程中学生行为的高度动态性与不确定性。

(2) 多维度教学影响因素的信息增益率分析

为全面识别影响教学效果的关键变量，本研究基于DIKW框架，从行为、情感、环境三个维度提取教学特征（如教师行为、学生情感、温度、数字参与度等），采用信息增益率算法量化各属性对教学结果的影响权重。以下以教师行为（T）、温度（EN0）、数字参与度（EN3）为例，展示分析过程：

①教师行为的信息增益率计算

计算条件熵教师行为标签分布：

讲解型3次、互动型4次、实验型2次

对应的学生标签：

T0：

$$H(S|S_{\text{讲解型}}) = -\left(\frac{1}{3} \log_2 \frac{1}{3} + \frac{2}{3} \log_2 \frac{2}{3}\right) \approx 0.918 \text{ bits} \quad (10)$$

T1：

$$H(S|S_{\text{互动型}}) = -\left(\frac{2}{4} \log_2 \frac{2}{4} + \frac{1}{4} \log_2 \frac{1}{4} + \frac{1}{4} \log_2 \frac{1}{4}\right) = 1.5 \text{ bits} \quad (11)$$

T2：

$$H(S|S_{\text{实验型}}) = -\left(\frac{1}{2} \log_2 \frac{1}{2} + \frac{1}{2} \log_2 \frac{1}{2}\right) = 1.0 \text{ bits} \quad (12)$$

加权条件熵：

$$H(S|T) = \frac{3}{9} \times 0.918 + \frac{4}{9} \times 1.5 + \frac{2}{9} \times 1.0 = 1.195 \text{ bits} \quad (13)$$

计算信息增益：

$$\text{Gain}(T) = H(S) - H(S|T) = 2.173 - 1.195 = 0.978 \text{ bits} \quad (14)$$

计算分割信息量：

$$\text{SplitInfo}(T) = -\left(\frac{3}{9} \log_2 \frac{3}{9} + \frac{4}{9} \log_2 \frac{4}{9} + \frac{2}{9} \log_2 \frac{2}{9}\right) \approx 1.542 \text{ bits} \quad (15)$$

计算信息增益率：

$$\text{GainRatio}(T) = \frac{\text{Gain}(T)}{\text{SplitInfo}(T)} = \frac{0.978}{1.542} = 0.634 \quad (16)$$

②温度（EN0）的信息增益率计算

同理可得

条件熵：

$$H(S|EN0) = \frac{4}{9} \times 1.5 + \frac{4}{9} \times 1.5 + \frac{1}{9} \times 0 \approx 1.333 \text{ bits} \quad (17)$$

信息增益：

$$\text{Gain}(EN0) = H(S) - H(S|EN0) = 2.173 - 1.333 = 0.840 \text{ bits} \quad (18)$$

分割信息量：

$$\text{SplitInfo}(EN0) = -\left(\frac{4}{9} \log_2 \frac{4}{9} + \frac{4}{9} \log_2 \frac{4}{9} + \frac{1}{9} \log_2 \frac{1}{9}\right) \approx 1.375 \text{ bits} \quad (19)$$

信息增益率：

$$\text{GainRatio}(EN0) = \frac{\text{Gain}(EN0)}{\text{SplitInfo}(EN0)} = \frac{0.840}{1.375} \approx 0.611 \quad (20)$$

③数字参与度（EN3）的信息增益率

同理可得

条件熵：

$$H(S|EN3) = \frac{2}{9} \times 1.0 + \frac{4}{9} \times 2.0 + \frac{3}{9} \times 1.584 \approx 1.639 \text{ bits} \quad (21)$$

信息增益：

$$\text{Gain}(EN3) = H(S) - H(S|EN3) = 2.202 - 1.639 = 0.563 \text{ bits} \quad (22)$$

分割信息量：

$$\text{SplitInfo}(EN0) = -\left(\frac{2}{9} \log_2 \frac{2}{9} + \frac{4}{9} \log_2 \frac{4}{9} + \frac{3}{9} \log_2 \frac{3}{9}\right) \approx 1.542 \text{ bits} \quad (23)$$

信息增益率:

$$\text{GainRatio(EN0)} = \frac{\text{Gain(EN0)}}{\text{SplitInfo(EN0)}} = \frac{0.563}{1.537} \approx 0.366 \quad (24)$$

3.3 教学影响因素优先级排序

基于信息增益率结果, 各教学变量的优先级排序如下(见表3):

表3 教学变量的优先级排序

属性	信息增益率	优先级
教师行为(T)	0.634	1
温度(ENO)	0.611	2
数字参与度(EN3)	0.366	3
.....

温度(ENO)的信息增益率为0.772, 表明环境因素对学生听课状态的影响较为显著。通过分析温度(ENO)的信息增益率, 可以发现适合的温度对学生听课状态有积极影响, 建议在教学过程中启动智能温控系统, 维持适宜环境参数, 以提高学生的学习效果。

4 基于德尔菲法与专家经验的智慧层框架设计

4.1 框架目标

通过德尔菲法整合教育专家经验与多模态数据分析结果, 构建动态的“评价-反馈-优化”闭环, 将信息增益率等量化指标转化为可落地的教学改进策略, 实现智能化教育治理。

4.2 核心组件与流程

(1) 协同决策层

为系统识别多模态互动教学中的关键影响因素并制定科学干预策略, 本研究采用德尔菲法构建协同决策机制。首先, 基于信息增益率算法对多维度教学数据进行特征重要性排序, 结果显示教师行为信息增益率($T=0.634$)与温度信息增益率($EN0=0.611$)对学生学习效果的影响权重显著高于其他变量。进一步通过关联规则挖掘发现, 高温环境($EN0 \geq 0.7$)与学生困惑率呈显著正相关(支持度=0.82, 置信度=0.75), 而教师高频讲解行为($T1$)与学习专注度后期下降存在时序关联(滞后效应检验 $p<0.05$)。

基于上述发现, 本研究组建了由7名跨领域专家(含学科教师、教育心理学家及智能技术顾问)构成

的德尔菲小组, 通过多轮匿名迭代达成共识决策。首轮反馈中, 专家基于数据报告独立提出干预建议, 包括“部署自适应温控系统以优化物理环境”“设计动态互动节奏以平衡讲解强度”等。第二轮匿名汇总后, 专家针对建议可行性进行修正, 例如将“安装智能温控系统”细化为“基于物联网传感器实现温度实时调控”。经过三轮迭代, 专家组最终形成优先级共识: 首要干预目标为互动型教师行为策略优化(综合权重0.52), 其次为环境参数调控(综合权重0.68)。此过程通过Kendall协调系数检验($W=0.71$, $p<0.01$)验证了意见一致性, 表明德尔菲法有效整合了多源数据与专家经验, 为多模态教学评价框架的实践改进提供了决策支持。

(2) 动态循环机制

评价: 实时监测教学数据(行为、情感、环境)计算信息熵与信息增益率, 更新关键影响因素。

反馈: 系统自动生成策略建议(如“当前温度28°C→启动空调”)专家审核建议, 通过德尔菲法修正或补充(如“高温时增加课间休息”)。

优化: 执行策略并记录效果(如调节温度后学生专注度提升15%)根据效果数据迭代策略库, 形成自适应优化模型。

5 结束语

本研究通过DIKW体系重构了课堂教学评价范式, 提出了一种多模态数据驱动的创新方法, 通过整合行为、情感与环境三维度的全息数据采集系统, 实现了对教学过程的动态监测与深度解析。研究采用改进的FIAS编码体系与多模态感知技术(如面部表情识别、语音情感分析、环境传感), 突破了传统评价模式在数据维度与实时性上的局限。通过信息熵模型量化教学系统有序性, 结合信息增益率算法提取关键教学变量, 揭示了教师行为、环境参数与数字参与度对学生学习状态的显著影响进一步引入德尔菲法融合专家经验, 建立了“评价-反馈-优化”的动态闭环机制, 验证了该框架在提升评价客观性、实时性及决策支持有效性方面的潜力。尽管取得了一定成果, 本研究仍存在以下局限性: 其一, 多模态数据同步与噪声处理依赖复杂算法, 可能增加系统部署成本; 其二, 实验样本规模较小, 且未覆盖多样化教学场景(如跨学科课程、大班授课), 结论的普适性需进一步验证; 其三, 专家经验的介入虽增强了策略可行性, 但可能引入主观偏差, 未来可探索自动化策略生成与自适应优化模型以减少人工依赖。此外, 隐私保护机制仍需完善, 如何在数据开放共享与伦理约束间取得平衡是后续研究的重要方向。

参考文献

- [1] 张学波,林书兵,孙元香.从数据到知识:数据驱动教学决策的理论模型与能力提升[J].电化教育研究,2021,42(12):41-47+54. DOI:10.13811/j.cnki.eer.2021.12.006.
- [2] 王梦珂,陈增照,石雅文,等.智能技术支持的多模态互动教学评价框架设计与应用效果[J].现代教育技术,2024,34(09):91-101
- [3] Shannon, C. E. (1948). A Mathematical Theory of Communication. Bell System Technical Journal, 27(3), 379-423.
- [4] Hsu, C. C., & Sandford, B. A. The Delphi Technique: Making Sense of Consensus[J]. Practical Assessment, Research, and Evaluation, 2007, 12(10): 1-8.
- [5] 教育部.教育部关于印发《教育信息化 2.0 行动计划》的通知 [EB/OL]. (2018-04-13) .
<https://xcxxzx.hfut.edu.cn/79/eb/c78a31211/page.htm>
- [6] 伍远岳,武艺菲.大数据时代的教育评价:特征、风险与破解之道[J].中国考试,2023,(10):9-16. DOI:10.19360/j.cnki.11-3303/g4.2023.10.002.
- [7] Fredrickson, B. L. (2001). The role of positive emotions in positive psychology: The broaden-and-build theory of positive emotions. American Psychologist, 56(3), 218 - 226
- [8] Gross J. J. Emotion regulation: Current status and future prospects[J]. Psychological Inquiry, 2015, 26(1): 1-26
- [9] 王陆,李瑶.课堂教学行为大数据透视下的教学现象探析[J].电化教育研究,2017,38(04):77-85. DOI:10.13811/j.cnki.eer.2017.04.012.
- [10] 李志飞,曾文颖,张龑.融合可视化教学的高校智慧课堂互动行为研究[J].中国教育信息化,2023,29(07):98-105.
- [11] Pekrun R. The Control-Value Theory of Achievement Emotions: Assumptions, Corollaries, and Implications for Educational Research and Practice[J]. Educational Psychology Review, 2006, 18: 315-341
- [12] Sutton R. E., Harper E. Teachers' emotion regulation[M]//Saha L. J., Dworkin A. G. International handbook of research on teachers and teaching. New York: Springer, 2009: 389-401